

Федеральное агентство по образованию Российской Федерации

Государственное образовательное учреждение высшего
профессионального образования “Московский физико-технический
институт (государственный университет)”

Выпускная квалификационная работа на степень бакалавра

**Исследование статистических свойств
тензора напряжений раствора полимеров**

Студент 028 гр. Качалов В.Н.

Научный руководитель:

д.ф.-м. н. Колоколов И.В.

Москва 2014

Содержание	
1 Введение	2
2 Расчет среднего Т	2
3 Учет наибольшего растяжения в одномерной модели	5
4 Старшие моменты	9
5 Заключение	9
6 Список литературы	10

1 Введение

В этой работе мы рассматриваем статистические свойства тензора напряжений раствора полимеров (в работе обозначен как T_{ik}) в двумерном потоке и в одномерном, в случаях когда получение аналитического решения для многомерья затруднительно. Поток состоит из флюктуационной скорости с наложенной на неё сдвиговой частью. Жидкость мы считаем несжимаемой, а поле скорости гладким. Интерес в изучении свойств данной величины состоит в том, что в растворе полимеров наблюдались сильные отличия от ньютоновской жидкости, например поток становится турбулентным при малых числах Рейнольдса, подробнее различия в экспериментах Грайсмана и Штейнберга описаны в [1][2].

Мы попробуем описать эту систему с помощью следующей феноменологической модели.

Запишем уравнение Навье-Стокса и уравнение на тензор напряжений.

Уравнение (1.2) написано из соображений, что $T \propto R^2$ где R - размер клубка.[12]

$$\left\{ \begin{array}{l} \partial_t v_i = -v_k \partial_k v_i - \partial_i p - \partial_k T_{ik} + \eta \Delta v_i \\ \partial_t T_{ij} = \Sigma_{ik} T_{kj} + \Sigma_{ik} T_{jk} - \frac{2}{\eta} T_{ij} \end{array} \right. \quad (1.1)$$

$$\left\{ \begin{array}{l} \partial_i v_i = 0 \\ \Sigma_{ik} = \partial_i v_k \end{array} \right. \quad (1.2)$$

Где тензор имеет вид $T_{ik} = A R_i R_k$. (2)

$$\Sigma_{ik} = \partial_i v_k . (3)$$

Сразу рассмотрим, как входит T в уравнение Навье-Стокса.

$$\begin{aligned} \partial_t v_i &= -v_k \partial_k v_i - \partial_i p - \partial_k T_{ik} = \\ &= -v_k \partial_k v_i - \partial_i p - \partial_k \left(\frac{a+c}{2} \sigma_0 + b \sigma_1 + \frac{a-c}{2} \sigma_3 \right) = \\ &= -v_k \partial_k v_i - \partial_i \left(p + \frac{a+c}{2} \right) - \partial_k \left(b \sigma_1 + \frac{a-c}{2} \sigma_3 \right) \end{aligned} \quad (4)$$

Получаем, что эффективно входит только бесследовая часть, в то время как часть описываемая коэффициентом при σ_0 дает лишь перенормировку давления. Для наглядности, распишем дивергенцию от обоих частей уравнения(1.1), что бы получить условие задающееся несжимаемостью

$$\partial_i \partial_t v_i = -\partial_i v_k \partial_k v_i - \partial_i \partial_i p - \partial_i \partial_k T_{ik} + \eta \partial_i \Delta v_i$$

Левая часть и часть с диссипацией равны 0 из условия(1.3) несжимаемости жидкости. Правая переписывается так, что получается уже указанная перенормировка.

$$0 = -\partial_i v_k \partial_k v_i - \Delta \left(p + \frac{a+c}{2} \right) - \partial_i \partial_k \left(b \sigma_1 + \frac{a-c}{2} \sigma_3 \right) = -\partial_i v_k \partial_k v_i - \Delta(\tilde{p}) - \partial_i \partial_k \left(b \sigma_1 + \frac{a-c}{2} \sigma_3 \right) \quad (5)$$

2 Расчет среднего Т

Из уравнения (1.2) можно получить уравнение на среднее значение T . Исходя из тех предположений, что мы сделали о виде тензора T и опираясь на результат полученный в [3], мы должны получить зависимость от времени вида $T \propto A \exp(-\frac{t}{2\tau} + 2\lambda_1)$.

Уравнение на T имеет вид.

$$\partial_t T_{ij} = \Sigma_{ik} T_{kj} + \Sigma_{ik} T_{jk} - \frac{2}{\tau} T_{ij}$$

Где

$$\Sigma_{ik} = \sigma_{ik} + S \delta_{xi} \delta_{yk} \quad (7)$$

S - сдвиговая компонента поля скорости.

σ - матрица производных флюктуационной скорости (δ - коррелированна по времени).

Корреляционная функция σ для двухмерного случая [3]

$$\langle \sigma_{ik}(t_1) \sigma_{lm}(t_2) \rangle = D(3\delta_{il}\delta_{km} - \delta_{im}\delta_{kl} - \delta_{ik}\delta_{lm})\delta(t_1 - t_2) \quad (8).$$

В начале сделаем подстановку и избавимся от члена с временем релаксации.

$$T = K e^{-\frac{2t}{\tau}} \quad (9)$$

Проведем дальнейший вывод уравнения на K , аналогично выводу уравнения Фоккера-Планка в [8].

Для этого представим K в виде.

$$K_{ij}(t) = K_{ij}(t - \Delta t) + \int_{t-\Delta t}^t \Sigma_{ik}(s) K_{kj}(s) ds + \int_{t-\Delta t}^t \Sigma_{ik}(s) K_{jk}(s) ds$$

Где время Δt выбрано так, что $\Sigma(t)$ и $K(t - \Delta t)$ не коррелируют.

$$\langle \Sigma(t) K(t - \Delta t) \rangle = 0 \quad (11)$$

Тогда подставив данное выражение получим.

$$\langle \partial_t K_{ij} \rangle = \langle \Sigma_{ik}(t) \int \Sigma_{km}(s) K_{mj}(s) ds \rangle + \langle \Sigma_{ik}(t) \int K_{km}(s) \Sigma_{jm}(s) ds \rangle$$

+

$$+ \langle \Sigma_{jm}(t) \int \Sigma_{ik}(s) K_{km}(s) ds \rangle + \langle \Sigma_{jm}(t) \int K_{ik}(s) \Sigma_{mk}(s) ds \rangle =$$

Воспользуемся соотношением на корреляционную функцию (8).

$$= \langle \partial_t K_{ij} \rangle = 2S^2 \delta_{ix} \delta_{jx} \int K_{yy}(s) ds + 3D K_{kk} \delta_{ij} - 2D K_{ij} + S(\delta_{ix} K_{yy}(t - \Delta t) + \delta_{jx} K_{yy}(t - \Delta t)) \quad (10)$$

Расписывая по координатно запишем систему уравнений.

$$K = \begin{vmatrix} a & b \\ b & c \end{vmatrix}$$

$$\begin{cases} \dot{a}(t) = 3D(a(t) + c(t)) - 2Da(t) + 2S^2 \int c(s) \\ \dot{b}(t) = -2Db(t) + Sc(t - \Delta t) \\ \dot{c}(t) = 3D(a(t) + c(t)) - 2Dc(t) \end{cases}$$

Как видно уравнения (5.1) и (5.3) отделяются, это позволяет их переписать в виде.

$$\begin{aligned} x(t) &= a(t) + c(t) \\ \begin{cases} \dot{x} = 4Dx + 2S^2C & (11.1) \\ \ddot{C} = 3Dx - 2D\dot{C} & (11.2) \end{cases} \end{aligned}$$

Где C - первообразная от c .

$$\begin{aligned} C(t) - C(t - \Delta t) &= \int_{t-\Delta t}^t c(s)ds \\ C(t - \Delta t) &= 0 \end{aligned}$$

Тогда переписывая уравнения (11).

$$\ddot{C}(t) - \ddot{C}(t)2D - 8D^2\dot{C}(t) - 6DS^2C(t) = 0$$

Отметим, что собственное число данного дифференциального уравнения является ляпуновской экспонентой.

$$\lambda^3 - 2D\lambda^2 - 8D^2\lambda - 6DS^2 = 0$$

Сделаем подстановку для удобства вычислений.

$$\alpha = \frac{S}{D}$$

Тогда можно записать решение кубического уравнения по формуле Кардано.

$$\begin{aligned} \lambda &= \sqrt[3]{-\frac{q}{2} + \sqrt{Q}} + \sqrt[3]{-\frac{q}{2} - \sqrt{Q}} = \sqrt[3]{-\frac{q}{2} + \sqrt{(\frac{p}{3})^3 + (\frac{q}{2})^2}} + \sqrt[3]{-\frac{q}{2} - \sqrt{(\frac{p}{3})^3 + (\frac{q}{2})^2}} = \\ &= D \left(\sqrt[3]{\frac{160+162\alpha^2}{54}} + \sqrt{-(\frac{28}{9})^3 + (\frac{160+162\alpha^2}{54})^2} \right) + \sqrt[3]{\frac{160+162\alpha^2}{54}} - \sqrt{-(\frac{28}{9})^3 + (\frac{160+162\alpha^2}{54})^2} = \\ \lambda &= \frac{D}{3} \left(\sqrt[3]{80 + 81\alpha + \sqrt{15552 - 12960\alpha^2 + 6561\alpha^4}} + \sqrt[3]{80 + 81\alpha - \sqrt{15552 - 12960\alpha^2 + 6561\alpha^4}} \right) \end{aligned}$$

В случае большой сдвиговой компоненты получается 1 вещественный корень равный.

$$\lambda \approx -\sqrt[3]{6DS^2} \quad (12)$$

И при малой сдвиговой компоненте корней уравнения будет 3, наибольший из них (важна только наибольшая ляпуновская экспонента.)

$$\lambda \approx \frac{D}{3}(10.8 + \alpha 0.73) \quad (13)$$

При ее отсутствии, уравнение перейдет в квадратное.

$$\lambda = \pm 2D \quad (14)$$

Решение дифференциального уравнения (10) на $\langle K \rangle$ в итоге запишется как.

$$\begin{cases} x = \frac{\lambda c(0)e^{\lambda t} + 2Dc(0)e^{\lambda t}}{3D} & (15.1) \end{cases}$$

$$\begin{cases} c(t) = c(0)e^{\lambda t} & (15.2) \end{cases}$$

$$\begin{cases} a(t) = \frac{\lambda c(0)e^{\lambda t} - Dc(0)e^{\lambda t}}{3D} & (15.3) \end{cases}$$

$$\begin{cases} b(t) = \frac{(\lambda b(0) - Sc(0) + 2D)}{\lambda} e^{-2Dt} + \frac{Sc(0) - 2D}{\lambda} e^{\lambda t} & (15.5) \end{cases}$$

Из полученного условия в пункте 1 получаем, что эффективно входящая бесследовая часть имеет вид.

$$\exp(-\frac{t}{2\tau})(b\sigma_1 + \frac{a-c}{2}\sigma_3) =$$

$$= \exp\left(-\frac{t}{2\tau}\right) \left(\frac{(\lambda b(0) - Sc(0) + 2D)}{\lambda} e^{-2Dt} + \frac{Sc(0) - 2D}{\lambda} e^{\lambda t} \right) \sigma_1 + \frac{(\lambda c(0) - 4Dc(0))e^{\lambda t}}{6D} \sigma_3 \quad (16)$$

3 Учет наибольшего растяжения в одномерной модели

Ранее мы считали, что время релаксации является постоянной величиной, и сила возвращающая полимер в исходное состояние от времени не зависит. В такой модели при численных расчетах получается достаточно большой хвост в районе сильнорастянутых полимеров [9]. В реальности это не так и существует некая длина больше которой полимер не растягивается, на ней он либо рвется, либо уже не описывается подобными уравнениями.

Для описания системы с некоторой максимальной длинной растяжения мы воспользуемся такой моделью, в которой $\tau = \tau_0(1 - \mu^2 tr T^2)$, где τ_0 время релаксации в отсутствии растяжения, параметр μ в данном случае определяет максимальную длину растяжения. Подставляя подобное выражение в матричное уравнение (1.2) мы получим довольно сложную систему уравнений, для которой будет достаточно затруднительно получить аналитически какие либо результаты. Основные свойства можно понять на одномерной модели, с мультипликативным шумом поэтому. Воспользуемся ей для получения функции плотности вероятности.

Уравнения тогда примут вид.

$$\begin{cases} \partial_t x = -\frac{x}{\tau_0(1-\mu^2 x^2)} + Cx + \zeta(t)x \end{cases} \quad (17.1)$$

$$\begin{cases} < \zeta(t) > = 0 \end{cases} \quad (17.2)$$

$$\begin{cases} < \zeta(t_1)\zeta(t_2) > = C\delta(t_1 - t_2) \end{cases} \quad (17.3)$$

Для данной системы можно записать уравнение Фоккера-Планка. Для этого произведем замену переменных, что бы сделать шум из мультипликативного аддитивным.

$$\begin{cases} y = \ln(x) \\ \partial_t y = -\frac{1}{\tau(1-\mu^2 e^{2y})} + C + \zeta(t) \end{cases}$$

Тогда уравнение Фоккера-Планка будет иметь вид.

$$\partial_t P(y, t) = \partial_y \left(\frac{P(y, t)}{\tau_0(1-\mu^2 e^{2y})} - CP(y, t) + C\partial_y P(y, t) \right) \quad (18)$$

На больших временах распределение полимеров по длинам имеет стационарный вид. Будем искать стационарное решение из уравнения (поддифференциальная правая часть равна константе).

Рассмотрим 2 варианта.

1) РАВНОВЕСНЫЙ СЛУЧАЙ

$J = 0$ тока нет, тогда уравнение примет вид.

$$CP'(y) - CP(y) + \frac{P(y)}{\tau_0(1-\mu^2 e^{2y})} = 0$$

Тогда решение

$$P(x) = Qx^{1-\alpha}(1 - \mu^2 x^2)^{\frac{\alpha}{2}}(19)$$

где $\alpha = \frac{1}{C\tau_0}$.

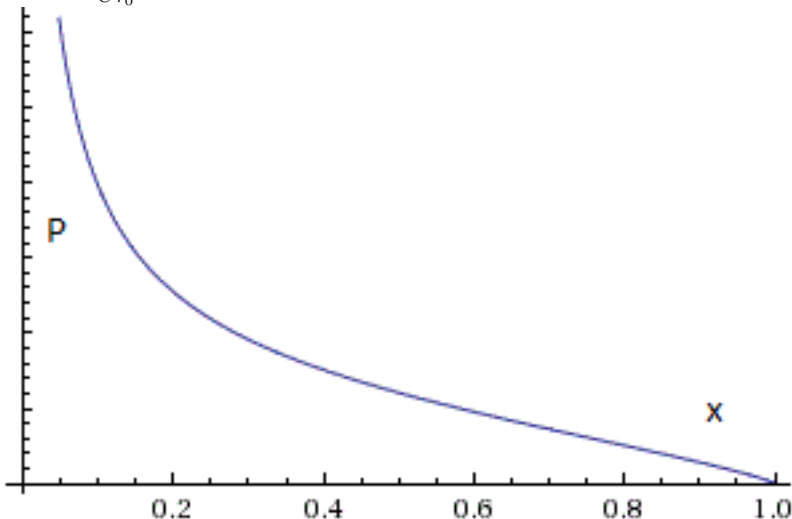


Рис.1

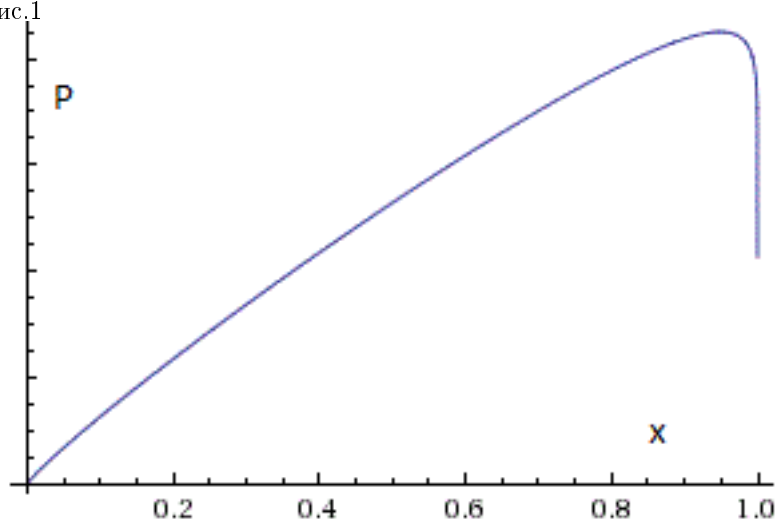


Рис.2

На графиках показаны режимы с $\alpha = 1.6$ (докритический режим) $\alpha = 0.1$ (закритический режим)($\mu = 1$).

Отсюда получаем что $\alpha > 1$ соответствует докритическому режиму [5], так как в таком случае функция имеет особую точку в нуле, что соответствует тому, что большинство полимеров нерастянуто. В случае $\alpha < 1$ происходит

переход, и функция принимает другой вид, с максимумом при $x_m = \sqrt{1 - \alpha}$, что соответствует закритическому режиму. Получается, что параметр α соответствует $\frac{1}{W_i}$ из[5].

Так же отметим, что при $\mu = 0$, ответ сводится к полученному в [3], где разобран случай постоянного времени релаксации.

Может возникнуть вопрос, что произойдет в сильно-докритическом режиме ($\alpha \geq 2$), так как полная вероятность равна 1.

$$1 = \int_0^1 P(x) dx (20)$$

А в данном случае неопределенного интеграла не существует. Обрезка в данном случае задается условием существования некого минимального размера полимера x_0 , существующего так как полимер не может сжаться в точку. Это означает, что интеграл будет существовать всегда.

Еще отметим, что

2)Неравновесный случай

Рассмотрим случай в котором $J \neq 0$. Уравнение на функцию плотности вероятности примет вид,

$$CP'(y) - CP(y) + \frac{P(y)}{\tau_0(1-\mu^2 e^{2y})} = J$$

Тогда функция плотности вероятности принимает вид

$$P(x) = Q(x) * x^{-\alpha} (1 - x^2)^{-\frac{\alpha}{2}}$$

Где

$$Q(x) = \int dx (x)^{\alpha-1} (1 - \mu^2 x^2)^{\frac{\alpha}{2}} = \frac{F(\frac{\alpha}{2}, \frac{\alpha}{2}, \frac{\alpha+2}{2}, \mu^2 x^2) x^\alpha}{\alpha}$$

$F(a, b, c)$ - гипергеометрическая функция.

Откуда следует, что

$$P(x) = x * F(\frac{\alpha}{2}, \frac{\alpha}{2}, \frac{\alpha+2}{2}, \mu^2 x^2) * (1 - \mu^2 x^2)^{\frac{\alpha}{2}} (21)$$

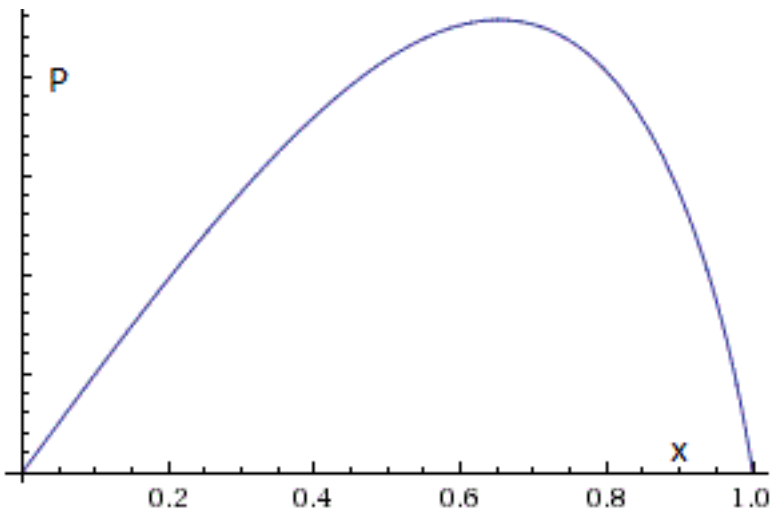


Рис. 3

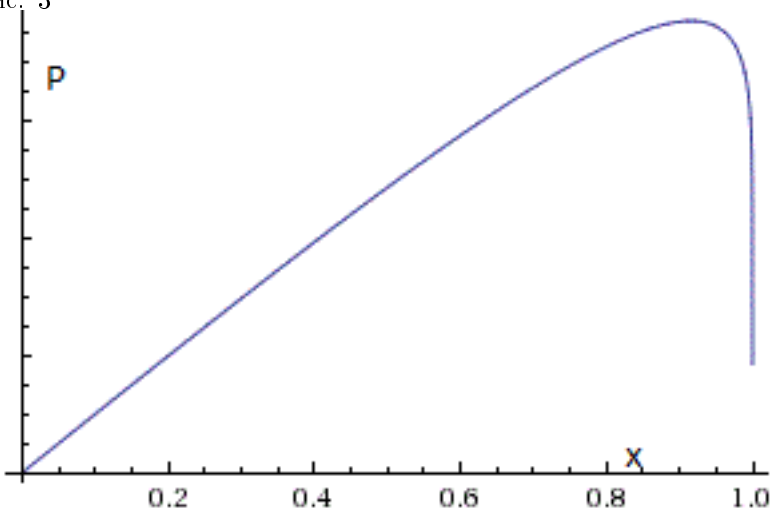


Рис.4

На рис.3 и рис.4 показаны режимы с $\alpha = 3.2$ (докритический режим) $\alpha = 0.2$ (закритический режим) соответственно($\mu = 1$).

Поскольку вид гипергеометрических функций нетривиален рассмотрим их асимптотики при больших и малых α .

Случай $\alpha \rightarrow 0$.

$$F\left(\frac{\alpha}{2}, \frac{\alpha}{2}, \frac{\alpha+2}{2}, x^2\right) \rightarrow 1 + \frac{\alpha^2}{4} \sum_{n=1}^{\infty} \left(\frac{x^{2n}}{n^2}\right)$$

Тогда.

$$P(x) \simeq x * \left(1 + \frac{\alpha^2}{4} \frac{x^2}{4}\right) * (1 - \mu^2 x^2)^{\frac{\alpha}{2}} \quad (21)$$

Случай больших α ($\alpha \gg 1$)

$$F\left(\frac{\alpha}{2}, \frac{\alpha}{2}, \frac{\alpha+2}{2}, x^2\right) \rightarrow \exp\left(\frac{\alpha x^2}{2}\right)$$

Что верно при малых x ($x \ll \alpha$), в нашем случае, данное условие автоматически выполнено так как x меньше 1.

Тогда приближенный вид решения при больших α .

$$P(x) \approx x * \exp\left(\frac{\alpha x^2}{2}\right)(1 - x^2)^{\frac{\alpha}{2}} \quad (22)$$

Заметим, что физически пункт 1) соответствует случаю, когда с полимером ничего не происходит при растягивании до максимального размера. Пункт 2) соответствует наличию вероятности разрыва полимеров в точке максимума, и “вбрасыванию” новых полимеров. Данный случай ближе к реальности (например некоторые свойства полимеров используют при прокачке нефти).

Так же отметим, что имеется серьезное различие вида функций плотности вероятности в докритическом режиме в случаях 1) и 2). Как видно из графиков и выражения для асимптотик, полученного аналитически, в случае 2) не наблюдается наличия большого количества нерастянутых полимеров, то есть, появление возможности разрыва приводит к “оттягиванию” полимеров от 0.

4 Старшие моменты

Рассмотрим задачу нахождения функции распределения вероятности для старших моментов $z = x^n$.

Уравнение на старшие моменты имеет вид.

$$\begin{cases} \partial_t z = -\frac{nz}{\tau_0(1-z^{\frac{2}{n}})} + Cnz + n\zeta(t)z & (23.1) \\ <\zeta(t)> = 0 & (23.2) \end{cases}$$

$$\begin{cases} <\zeta(t_1)\zeta(t_2)> = C\delta(t_1 - t_2) & (23.3) \end{cases}$$

Сделаем замену, таким образом относительно новой переменной шум аддитивный.

$$\begin{cases} q = \ln(z) \\ \partial_t q = -\frac{n}{\tau_0(1-e^{\frac{2q}{n}})} + nC + n\zeta(t) \end{cases}$$

Уравнение Фоккера-Планка тогда будет записано как.

$$\partial_t P(q, t) = \partial_y \left(-nCP(q, t) + \frac{nP(q, t)}{\tau_0(1-e^{\frac{2q}{n}})} + n^2 C \partial_y P(q, t) \right) \quad (24)$$

Стационарное решение будет найдено из уравнения.

$$n^2 CP'(q) + n \frac{P(q)}{\tau_0(1-e^{\frac{2q}{n}})} - nCP(q) = J$$

Как и в предыдущей части будет два случая - равновесный и неравновесный.

1) РАВНОВЕСНЫЙ СЛУЧАЙ

$J = 0$ тока нет, тогда решение примет вид.

$$P(z) = Qz^{1-\frac{\alpha}{n}}(1 - z^{\frac{2}{n}})^{\frac{\alpha}{2}} \quad (25)$$

Как уже было сказано ранее, в реальности в точке 0 особенности не будет в силу невозможности сжать полимер в точку.

2)Неравновесный случай

Рассмотрим случай в котором $J \neq 0$. Тогда решение запишется в виде

$$P(z) = Q(z) * z^{1-\frac{\alpha}{n}} (1 - z^{\frac{2}{n}})^{\frac{\alpha}{2}}$$

где

$$Q(z) = F\left(\frac{\alpha-2n}{2}, \frac{\alpha}{2}, \frac{\alpha-2n+2}{2}, z^{\frac{2}{n}}\right) z^{\frac{\alpha-2n}{2}}$$

Тогда финальный ответ

$$P(z) = z^{1-\frac{\alpha}{n}} (1 - z^{\frac{2}{n}})^{\frac{\alpha}{2}} * F\left(\frac{\alpha-n}{2}, \frac{\alpha}{2}, \frac{\alpha-n+2}{2}, z^{\frac{2}{n}}\right) z^{\frac{\alpha-2n}{2}} \quad (26)$$

5 Заключение

В части 2 мы получили экспоненциальную зависимость T от времени и величину ляпуновской экспоненты, соответствует предыдущим результатам например полученным [7]. К сожалению, в силу незнания того, как подробно выглядит T , и незнания численных значений коэффициентов стоящих в (2) не удалось получить результаты подходящие для дальнейшего анализа уравнения Навье-Стокса, с целью объяснить некоторые свойства раствора полимеров.

В части 3 получены достаточно интересные результаты, сходящиеся с ранее полученными в [3], при $\mu = 0$. Отметим, так же, что найденное равновесное аналитическое решение при докритических параметрах сходится с полученным численным для многомерного случая в [5]. Закритический случай в данной модели дал результат несколько отличный от численного в [5] - один максимум вместо двух, при увеличении Wi переходящих в один близкий к 1, что по видимому связано с переходом от многомерного к одномерному уравнению. Однако одномерный случай позволил пронаблюдать некоторые свойства функции плотности вероятности, при условии небесконечной растяжимости полимера, например такие как наличие критических соотношений C и τ_0 , при которых картина распределения сильно меняется.

В части 4 получен достаточно простой, но важный ответ, что распределение стационарное распределение старших моментов всегда существует.

6 Список литературы

- [1]A. Groisman, V Steinberg. "Elastic turbulence in a polymer solution flow" Nature 405 53 (2000).
- [2]A. Groisman, V Steinberg. "Stretching of polymers in a random three-dimensional flow", Phys. Rev. Lett. 86 934 (2001).

- [3] В.В.Лебедев. “Флуктуационные эффекты в макрофизике” МЦНМО 2004.
- [4] G. Falkovich, K. Gawedzki and M. Vergassola. “Particles and fields in fluid turbulence”, Rev. Mod. Phys. 73 913 (2001) .
- [5] M. Chertkov I. Kolokolov V. Levedev K. Turitsyn. “Polymer statistics in a random flow with mean shear”, J. Fluid Mech., 531, 251-260 (2005).
- [6] M. Chertkov. “Polymer stretching by turbulence”. Phys. Rev. Lett. 84, 4761–4764.
- [7] K. S. Turitsyn, “Polymer dynamics in chaotic flows with a strong shear component”, ZhETF 132 746 (2007) [JETP 105 655 (2007)]
- [8] И. В. Колоколов, Е. Г. Образовский, Е. В. Подивилов “Физическая кинетика” Учеб. пособие/ МФТИ; Новосиб. гос. ун-т. М.; Новосибирск, 2009.
- [9] J. Davoudi and J. Schumacher “Stretching of polymers around the Kolmogorov scale in a turbulent shear flow” arxiv: <http://arxiv.org/abs/nlin/0601004>
- [10] E. Balkovsky, A. Fouxon, and V. Lebedev, “Turbulent dynamics of polymer solutions,” Phys. Rev. Lett. 84, 4765 (2000).
- [11] G. Falkovich, M. Vergassola “Lagrangian Description of Transport in Turbulence” (курс лекций)
- [12] Bird, R.B., Curtiss, C.F., Armstrong, R.C., & Hassager 1987 Dynamics of Polymeric Liquids Wiley, New York.